# Mathématiques appliquées à l'assurance des risques numériques

Sébastien Farkas Allianz France //

Doctorat réalisé à : Sorbonne Université

Ecole Doctorale Sciences Mathématiques de Paris-Centre Laboratoire de Probabilités, Statistique et Modélisation Sous la direction d'Olivier Lopez et Caroline Hillairet

### Le numérique au sein des entreprises et ses risques

Définition de Didier Dubasque (2019) : "Le numérique représente toutes les applications qui utilisent un langage binaire [...]. Il envisage à la fois les outils, les contenus et les usages."

#### Sondage Eurobarometer (2021)

Introduction

•0000000

Le sondage réalisé sur 12 863 petites et moyennes entreprises européennes montre :

- la place incontournable du numérique pour les entreprises sondées :
  - 71% ont un site internet,
  - 38% utilisent un stockage en ligne,
  - 30% proposent un système de paiement en ligne à leurs clients,
- le contact fréquent avec une criminalité numérique variée au cours de l'année 2021 :
  - tentative d'hameçonnage (11%),
  - tentative de piratage de leurs comptes bancaires (4%),
  - attaque par un rançongiciel (4%),
  - attaque par déni de service (3%).

0000000

### Les acteurs malveillants et leurs stratégies

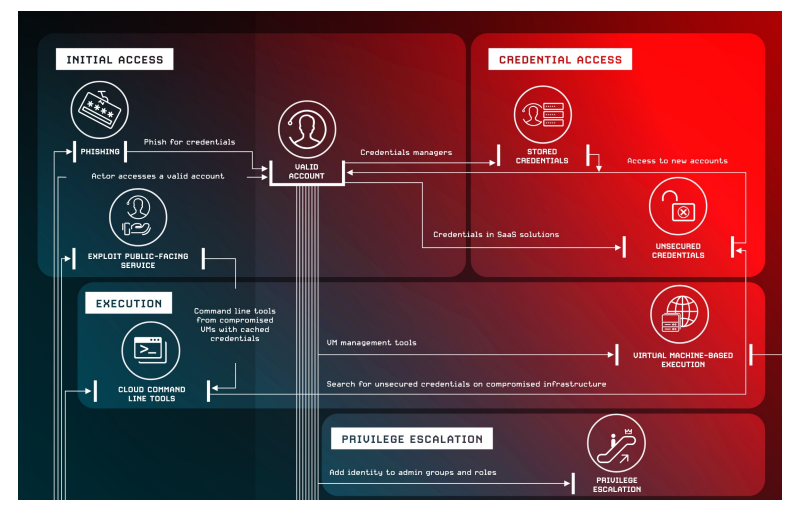
Les équipes de défense numérique font face à trois types d'adversaires aux motivations différentes :

- "Nation-State" : espionnage, sabotage, perturbation, destruction
- "eCrime" : gains financiers, retours sur investissements élevés
- "Hacktivist" : nuire à des cibles opposées à leurs causes

Qui peuvent mettre en place plusieurs types d'intrusions :

- "Zero-click" : intrusion basée sur l'exploitation d'une ou plusieurs vulnérabilités
- "One-click & more": intrusion nécessitant qu'un utilisateur réalise au moins une action compromettante (clic sur un lien, ouverture d'un fichier, partage d'informations sensibles, réalisation d'un virement,...)

0000000



00000000

### Les schémas d'attaques : de l'intrusion à l'impact



Infographie extraite du Crowdstrike 2025 Global Threat Report, basée sur MITRE ATT&CK

 Introduction
 Classification & Extrêmes
 Dépendance & Censure
 Accumulation & Hawkes
 Conclusion

 0000€000
 00000000
 000000000
 000000000
 00

# Les solutions de défense proactives et leurs fournisseurs

Plusieurs solutions complémentaires visent à prévenir les attaques sur différents maillons.

#### Mobile Threat Defense Solutions



### Extended Detection and Response Platforms



Forrester Wave Forrester Wave

6/37

### La sécurisation à l'échelle d'une organisation

Les Responsables de la Sécurité des Systèmes d'Information (RSSI) sont avant tout des spécialistes de la gestion des risques à l'échelle d'une organisation. Leurs enjeux peuvent être segmentés de deux manières selon les méthodologies de l'ANSSI:

par thématique :

Introduction

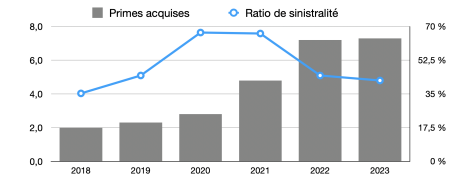
00000000

- Gouvernance et interactions entre équipes mobilisées
- Processus et outillage
- Communication de crise et relations externes
- Détection et réponse à incidents
- Continuité d'activité et reconstruction
- par temporalité :
  - Se préparer à affronter une crise cyber
  - Réagir Phase 1 : Alerter, mobiliser et endiguer
  - Réagir Phase 2 : Maintenir la confiance et comprendre l'attaque
  - Réagir Phase 3 : Relancer les activités métiers et durcir les systèmes d'information
  - Réagir Phase 4 : Tirer les leçons de la crise et capitaliser

00000000

### L'assurance des risques numériques et ses enjeux mathématiques

 Aux États-Unis, le marché est rentable, en croissance et très concurrentiel (NAIC) malgré une volatilité des coûts : médiane à 140K\$ et moyenne à 630K\$ (IAIS).



- La dépendance des primes en fonction des profils de risques repose davantage sur des avis d'experts que sur une modélisation statistique des pertes conditionnelles.
- Dans un contexte de bases de données de sinistres en cours de constitution, comment peut-on contribuer à améliorer la maîtrise des engagements des assureurs?

### Table des matières

Introduction

1 Classification des risques à partir de valeurs extrêmes

2 Estimation de copules à partir de données censurées

3 Estimation de phénomènes d'accumulation auto-excités

La théorie des valeurs extrêmes repose sur deux résultats fondamentaux :

- le théorème de Fisher-Tippett-Gnedenko, cf Théorème 1.1.1,
- le théorème de Pickands-Balkema-De Haan, cf Théorème 1.1.2.

#### Proposition 1.1.4 cf Section 5.3.1 de Haan et Ferreira (2006)

Si Y une variable aléatoire appartient au domaine d'attraction de Fréchet, alors ses moments d'ordres strictement inférieurs à  $1/\gamma$  sont finis et ceux d'ordres supérieurs à  $1/\gamma$  sont infinis,

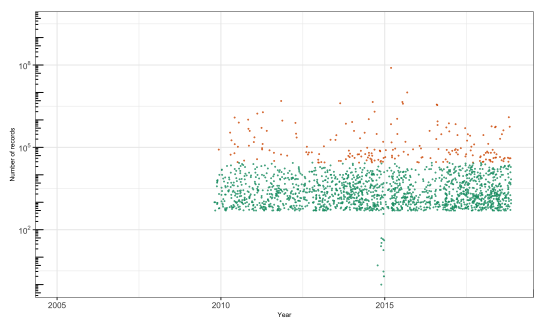
$$\forall \, 0 < \alpha < 1/\gamma, \, \mathbb{E}[|Y|^{\alpha}] < +\infty \, \text{et} \, \, \forall \, \alpha > 1/\gamma, \, \mathbb{E}[|Y|^{\alpha}] = +\infty.$$

En particulier :

- si  $\gamma > \frac{1}{2}$ ,  $\mathbb{V}[Y] = +\infty$
- si  $\gamma > 1$ ,  $\mathbb{E}[Y] = +\infty$

# Théorie des valeurs extrêmes : Distribution Pareto Généralisée (GPD)

• Choix empirique du seuil *u* pour déterminer les excès, représentés en rouge :



- Estimation des paramètres de la loi GPD par maximum de pseudo-vraisemblance :
  - ullet  $\sigma$  : le paramètre d'échelle, strictement positif,
  - $\bullet \ \gamma$  : le paramètre de forme, strictement positif dans le cadre considéré du domaine de Fréchet.

Objectif : estimation des paramètres conditionnels de la loi GPD  $\theta_0(x) = (\sigma_0(x), \gamma_0(x))$ .

#### Hypothèse 1.1.5

Introduction

Il existe une fonction  $\gamma_0$  strictement positive sur  $\mathcal X$  vérifiant :

$$\forall x \in \mathcal{X}, \forall y > 0, \lim_{t \to \infty} \frac{\overline{F}(ty \mid x)}{\overline{F}(t \mid x)} = y^{-1/\gamma_0(x)}.$$

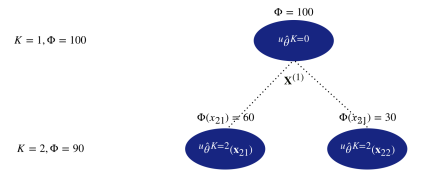
#### Corollaire 1.1.6

Si l'hypothèse 1.1.5 est vérifiée, alors il existe des fonctions  $\sigma_0(x)$  et  $\gamma_0(x)$ , strictement positives sur  $\mathcal{X}$  telles que :

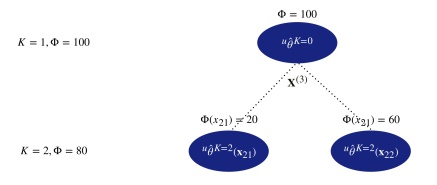
$$\lim_{u\to\infty}\sup_{\mathbf{x}\in\mathcal{X}}\sup_{z>0}|\overline{F}_u(z|\mathbf{X}=\mathbf{x})-\overline{H}_{(\sigma_{\mathbf{0}}(\mathbf{x}),\gamma_{\mathbf{0}}(\mathbf{x}))}(z)|=0.$$

Méthodes existantes : Beirlant & Goegebeur (2003), Beirlant & Goegebeur (2004) et Chavez-Demoulin, Embrechts & Hofert (2015).

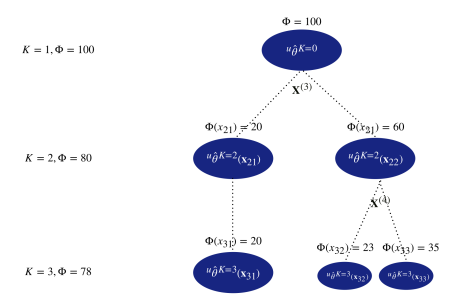
$$\hat{m} = \arg\min_{m \in \mathcal{M}} \Phi(Y, m(X)) \text{ avec } \Phi(Y, m(X)) = \frac{1}{n} \sum_{i=1}^{n} \phi(Y_i, m(X_i))$$



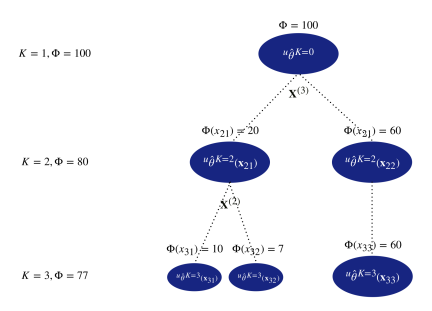
$$\hat{m} = \arg\min_{m \in \mathcal{M}} \Phi(Y, m(X)) \text{ avec } \Phi(Y, m(X)) = \frac{1}{n} \sum_{i=1}^{n} \phi(Y_i, m(X_i))$$



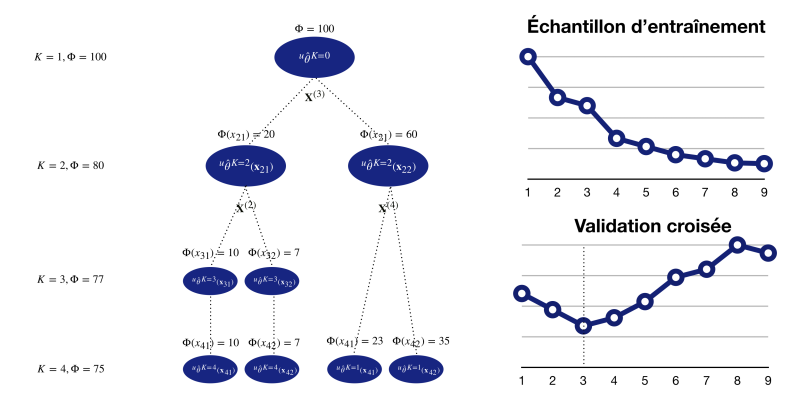
$$\hat{m} = \arg\min_{m \in \mathcal{M}} \Phi(Y, m(X)) \text{ avec } \Phi(Y, m(X)) = \frac{1}{n} \sum_{i=1}^{n} \phi(Y_i, m(X_i))$$



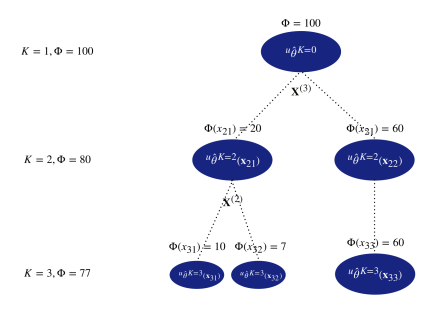
$$\hat{m} = \arg\min_{m \in \mathcal{M}} \Phi(Y, m(X)) \text{ avec } \Phi(Y, m(X)) = \frac{1}{n} \sum_{i=1}^{n} \phi(Y_i, m(X_i))$$



$$\hat{m} = \arg\min_{m \in \mathcal{M}} \Phi(Y, m(X)) \text{ avec } \Phi(Y, m(X)) = \frac{1}{n} \sum_{i=1}^{n} \phi(Y_i, m(X_i))$$



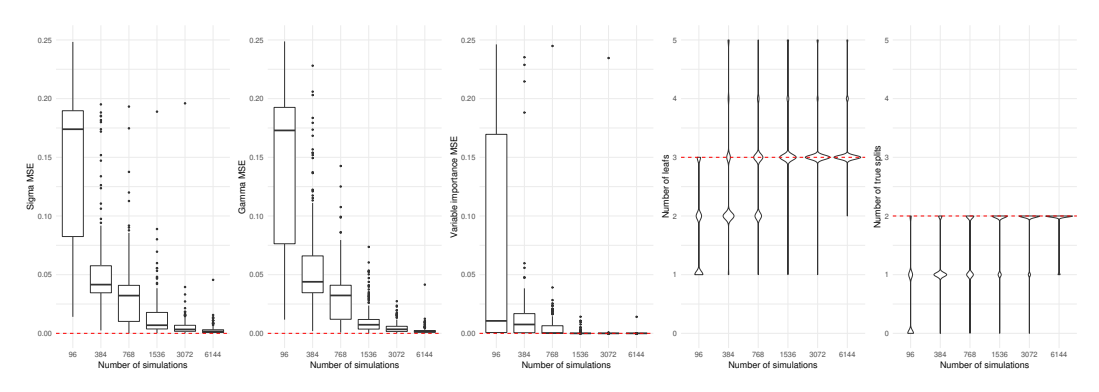
$$\hat{m} = \arg\min_{m \in \mathcal{M}} \Phi(Y, m(X)) + \lambda K \text{ avec } \Phi(Y, m(X)) = \frac{1}{n} \sum_{i=1}^{n} \phi(Y_i, m(X_i))$$





### CART & GPD : résultats de la simulation numérique

Soit  $(\sigma_1, \sigma_2, \sigma_3) = (\gamma_1, \gamma_2, \gamma_3) = (0.5, 1, 1.5).$ 



#### Théorème 1.3.1

Introduction

Sous les conditions précisées au théorème 1 de la partie B, nous obtenons l'existence de constantes positives  $C_1$ ,  $C_2$  et  $C_3$  telles que  $\forall t > K(\log k_n)k_n^{-1}$ ,

$$\begin{split} & \mathbb{P}\left(\sup_{u_{\min} \leq u \leq u_{\max}} |u\hat{\theta}^K(x) - u\theta^{*K}(x)|_2^2 \geq t\right) \\ & \leq 2\left(\exp\left(-\frac{\mathcal{C}_1 k_n t}{K(\log k_n)^2}\right) + \exp\left(-\frac{\mathcal{C}_2 k_n t^{1/2}}{K^{1/2} \log k_n}\right)\right) + \frac{\mathcal{C}_3 K}{k_n^{5/2} t^{3/2}}, \end{split}$$

Nous majorons ainsi l'espérance de l'erreur stochastique pour une constante positive  $\mathcal{C}_4$  :

$$\mathbb{E}\left[\sup_{u_{\min}\leq u\leq u_{\max}}|^{u}\hat{\theta}^{K}(\mathsf{x})-{}^{u}\theta^{*K}(\mathsf{x})|_{2}^{2}\right]^{1/2}\leq \mathcal{C}_{4}^{1/2}\frac{K^{1/2}\log k_{n}}{k_{n}^{1/2}}.$$

#### Théorème 1.3.2

Introduction

Parmi les conditions précisées au théorème 3 de l'annexe B, nous supposons en particulier que la constante de pénalisation du nombre de feuilles  $\lambda$ , vérifie l'inégalité suivante :

$$0 < c_2(\log k_n)^{1/2}k_n^{-1/2} \le \lambda \le \mathfrak{D} - 2c_2(n)^{1/2}k_n^{-1/2},$$

avec  $c_2 > 0$  et  $\mathfrak{D} = \inf_u \inf_{K < K^*(u)} \Delta L({}^u\theta^{*K}(x), {}^u\hat{\theta}^{K^*}(x)).$ 

Sous l'ensemble des conditions, nous obtenons pour les constantes positives  $\mathcal{C}_1$ ,  $\mathcal{C}_2$  et  $\mathcal{C}_3$  du Théorème 1.3.1 les majorations suivantes :

$$\begin{aligned} \forall K > K^*(u), \ \mathbb{P}(\widehat{K}(u) = K) &\leq 2 \exp\left(-\frac{C_1 k_n \lambda^2 (K - K^*(u))^2}{\log k_n^2}\right) \\ &+ 2 \exp\left(-\frac{C_2 k_n \lambda (K - K^*(u)))}{\log k_n}\right) \\ &+ \frac{C_3}{k_n^{5/2} \lambda^3 (K - K^*(u))^3}, \end{aligned}$$

#### Théorème 1.3.2

Introduction

$$\begin{aligned} \forall K < K^*(u), \ \mathbb{P}(\widehat{K}(u) = K) &\leq 4 \exp\left(-\frac{C_1 k_n \left\{\mathfrak{D} - \lambda (K^*(u) - K)\right\}^2}{(\log k_n)^2}\right) \\ &+ 4 \exp\left(-\frac{C_2 k_n \left\{\mathfrak{D} - \lambda (K^*(u) - K)\right\}}{\log k_n}\right) \\ &+ \frac{2C_3}{k_n^{5/2} \left\{\mathfrak{D} - \lambda (K^*(u) - K)\right\}^3}, \end{aligned}$$

Nous majorons ainsi l'espérance de l'erreur stochastique pour une constante positive  $C_5$  dépendante de  ${}^u\hat{\theta}^{K^*}(x)$ .

$$\mathbb{E}\left[|{}^{u}\hat{\theta}^{\hat{K}}(\mathsf{x}) - {}^{u}\hat{\theta}^{K^{*}}(\mathsf{x})|_{2}^{2}\right]^{1/2} \leq \frac{C_{5}^{1/2}K^{*}(u)^{1/2}\log k_{n}}{k_{n}^{1/2}}.$$

### Table des matières

Introduction

1 Classification des risques à partir de valeurs extrêmes

2 Estimation de copules à partir de données censurées

3 Estimation de phénomènes d'accumulation auto-excités

# Censure: estimateur de Kaplan-Meier (1958)

- T : le délai de traitement d'un sinistre, inconnu pour les dossiers ouverts,
- C : la censure de T.

Introduction

- Y : le délai observé de traitement d'un sinistre  $Y = \min(T, C)$ .
- $\delta$ : l'indicatrice de clôture d'un sinistre,  $\delta = \mathbb{1}_{\{Y=T\}}$ ,

$$\hat{S}^T(y) = \prod_{Y_i \leq y} \left( 1 - \frac{\delta_i}{\sum_{k=1}^n \mathbb{1}_{Y_k \geq Y_i}} \right).$$

Représentation en somme de variables pondérées : Van der Laan et Robins (2003)

$$\hat{S}^T(y) = \sum_{i=1}^n \hat{W}_{in} \mathbb{1}_{Y_i \leq y} \text{ avec } \hat{W}_{in} = \frac{\delta_i}{n \hat{S}^C(Y_i^-)}.$$

### Censure : résultats sur l'estimateur de Kaplan-Meier

#### Théorème 2.1.5 (Théorème de Akritas 2000)

Introduction

Supposons T et C indépendantes, de même support et telles que  $\mathbb{P}(T = C) = 0$ . Pour toute fonction  $\phi$  vérifiant la condition suivante :

$$\mathbb{E}\left[\frac{\phi(T)^2}{\hat{S}^C(T)}\right] < \infty,$$

nous obtenons une décomposition en sommes i.i.d de l'expression pondérée :

$$\sum_{i=1}^n \hat{W}_{i,n}\phi(Y_i) = \sum_{i=1}^n W_{in}^*\phi(Y_i) + \frac{1}{n}\sum_{i=1}^n \xi_i(\phi) + o_P(n^{-1/2}), \text{ avec } \mathbb{E}[\xi_i(\phi)] = 0.$$

Ce résultat permet notamment d'obtenir des résultats de type central limite, cf Stute 1995.

### Principe

Introduction

Le théorème de Sklar montre que la loi jointe F d'un vecteur aléatoire L de dimension d se caractérise par deux composantes indépendantes :

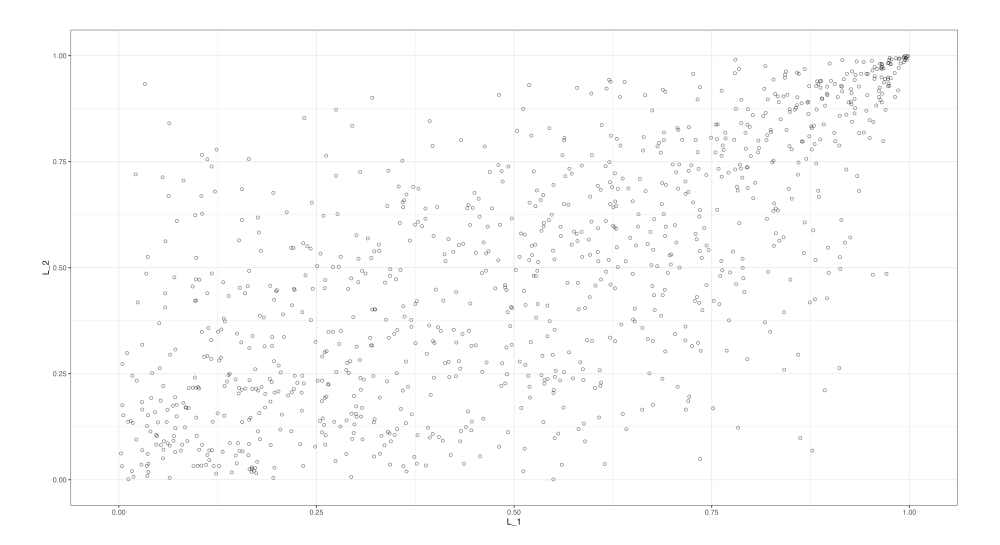
- ses d lois marginales.
- sa structure de dépendance entre les marginales, appelée copule.
- La copule est unique lorsque les lois des marginales sont absolument continues. Dans ce cas, la copule s'exprime de la manière suivante :

$$\mathfrak{C}(u_1,\ldots,u_d) = F\left(F_1^{(-1)}(u),\ldots,F_d^{(-1)}(u)\right).$$

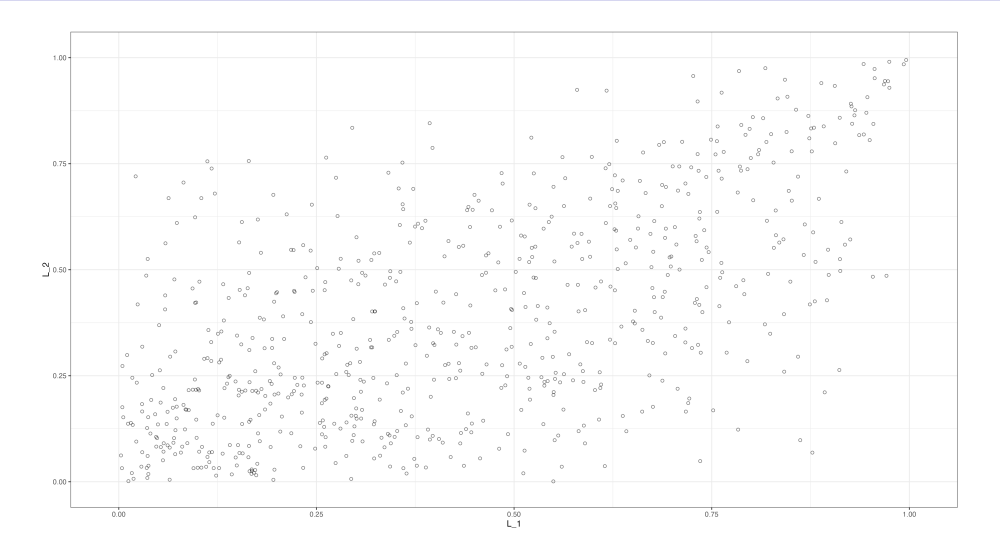
• Empiriquement, la copule s'estime sur des pseudo-observations  $\hat{U}_i \in [0;1]^d$  :

$$\forall j \in \{1, \dots, d\}, \forall i \in \{1, \dots, n\}, \hat{U}_{i}^{(j)} = \hat{F}^{(j)}(L_{i}^{(j)}), \text{ avec } \hat{F}^{(j)}(I) = \frac{1}{n} \sum_{i=1}^{n} \mathbb{1}_{L_{i}^{(j)} \leq I}.$$

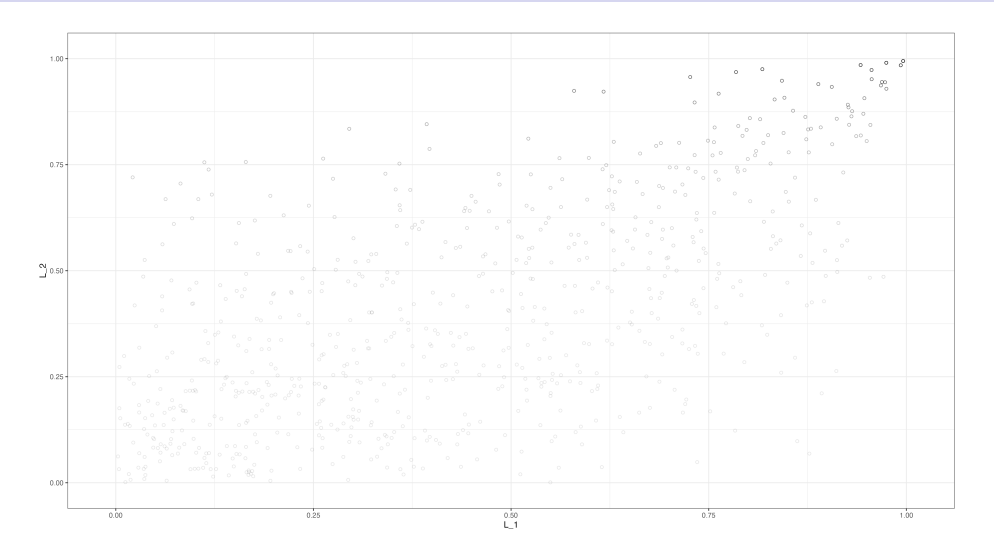
### Dépendance & Censure : introduction



# Dépendance & Censure : introduction



# Dépendance & Censure : introduction



# Dépendance & Censure : cadre et objectifs

- C est supposée indépendante de (T, L, X) et avec un support identique à celui de T,
- La structure de dépendances des coûts marginaux est supposée paramétrique, appartenant à une famille  $\mathcal{C} = \{\mathfrak{C}_{\theta} : \theta \in \Theta\}$ , avec  $\Theta \subset \mathbb{R}^m$  et nous considérons deux cas de figure :
  - soit une dépendance simple, l'objectif est alors  $\theta_0$  et l'erreur d'estimation est égale  $\hat{\theta} \theta_0$ ,
  - soit une dépendance conditionnelle, l'objectif est alors  $\theta_0(x)$  et on distingue deux erreurs :
    - l'erreur d'estimation entre  $\hat{\theta}(x)$  et  $\theta_h^*(x)$ ,
    - l'erreur d'approximation entre  $\theta_h^*(x)$  et  $\theta_0(x)$ ).

$N(\theta)$	=	$E\left[\log \mathfrak{c}_{ heta}(U) ight]$	$\theta_{0}$	=	$argmax_{ heta} N( heta)$
$N_n^*(\theta)$	=	$\sum_{i=1}^n W_{i,n}^* \log \mathfrak{c}_ heta(U_i^*)$	$ heta^*$	=	arg ma $x_ heta  N_n^*( heta)$
$\hat{N}_n(\theta)$	=	$\sum_{i=1}^n \hat{\mathcal{W}}_{i,n} \log \mathfrak{c}_{ heta}(\hat{U}_i)$	$\hat{ heta}$	=	$\operatorname{arg} \operatorname{max}_{ heta} \hat{\mathcal{N}}_n( heta)$
$M(\theta, x)$	=	$E\left[\log \mathfrak{c}_{\theta}(U) X=x\right]f_{X}(x)$	$\theta(x)$	=	$arg max_{\theta} M(\theta, x)$
$M_n^*(\theta, x)$	=	$\frac{1}{h^{d+1}} \sum_{i=1}^{n} W_{i,n}^* K\left(\frac{X_i - x}{h}\right) \log \mathfrak{c}_{(\theta, x)}(U_i^*)$	$\theta_h^*(x)$	=	$\operatorname{argmax}_{\theta} M_n^*(\theta, x)$
$\hat{M}_n(\theta, x)$	=	$rac{1}{h^{d+1}}\sum_{i=1}^{n}\hat{W}_{i,n}K\left(rac{X_{i}-x}{h} ight)\log\mathfrak{c}_{( heta,x)}(\hat{U}_{i})$	$\hat{ heta}(x)$	=	$\operatorname{arg} \operatorname{max}_{ heta} \hat{M}_n^*( heta, x)$

### Dépendance & Censure : résultat pour le modèle simplifié

#### Théorème 2.3.1

Introduction

Pour le modèle simplifié et dans les conditions précisées dans notre contribution, y compris la définition de certains  $\xi_i^{\phi}$ , nous obtenons la décomposition i.i.d suivante de l'erreur globale :

$$\begin{split} (\hat{\theta} - \theta_0) &= -\Sigma^{-1} \left[ \sum_{i=1}^n W_{in}^* \phi(\mathsf{U}_i, \mathsf{Y}_i, \mathsf{X}_i) + \frac{1}{n} \sum_{i=1}^n \xi_i^\phi + \sum_{k=1}^d \Lambda_i^{(k)} \right] + o_P(n^{-1/2}), \text{ avec} \\ & \left\{ \begin{array}{rcl} \Sigma &=& E \left[ \nabla_\theta^2 \log \mathfrak{c}_{\theta_0}(\mathsf{U}) \right] \text{ suppos\'ee inversible,} \\ \mathbb{E}[\xi_i^\phi] &=& 0, \\ \mathbb{E}[\Lambda_i^{(k)}] &=& 0. \end{array} \right. \end{split}$$

Ainsi, pour une certaine matrice de covariance V, nous obtenons la convergence en loi :

$$\sqrt{n}\left(\hat{\theta}-\theta_{0}\right)\Longrightarrow\mathcal{N}\left(0,\Sigma^{-1}V\Sigma\right),\label{eq:energy_energy_energy}$$

### Dépendance & Censure : résultat pour le modèle semi-paramétrique

#### Théorème 2.3.2

Introduction

Pour le modèle semi-paramétrique, avec K pour noyau, et dans les conditions précisées dans notre contribution, nous obtenons la décomposition i.i.d suivante de l'erreur stochastique :

$$\hat{\theta}(\mathsf{x}) - \theta_h^*(\mathsf{x}) = -\Sigma(\mathsf{x})^{-1} \left\{ \frac{1}{h^{d+1}} \sum_{i=1}^n W_{i,n}^* K\left(\frac{\mathsf{x}_i - \mathsf{x}}{h}\right) \Phi(\mathsf{U}_i) \right\} + o_P(n^{-1/2} h^{(d+1)/2}),$$

avec  $\Sigma(x) = \left( E \left[ \Phi_{\theta(x)}^{(j,k)}(U) | x = x \right] \right)_{i,k}$  supposée inversible.

Ainsi, en notant  $S(x) = E[\Phi(U)|x = x]$  et S(x)' sa transposée, nous obtenons la convergence en loi :

$$n^{1/2}h^{(d+1)/2}\left\{\hat{\theta}(\mathsf{x})-\theta_h^*(\mathsf{x})\right\} \Longrightarrow \mathcal{N}\left(0,\Sigma(\mathsf{x})^{-1}S(\mathsf{x})S(\mathsf{x})'\Sigma(\mathsf{x})^{-1}\right).$$

### Table des matières

Introduction

1 Classification des risques à partir de valeurs extrêmes

2 Estimation de copules à partir de données censurées

3 Estimation de phénomènes d'accumulation auto-excités

### Processus de comptage : introduction

Introduction

Un processus ponctuel N défini sur  $\mathbb{R}^+$  est un processus de comptage si presque sûrement ses trajectoires sont croissantes par saut d'amplitude 1, continues à droite et nulles à l'instant 0.

Autrement dit, le processus de comptage N saute unitairement aux temps de réalisations, disjoints, d'événements d'intérêts.

Pour un horizon T>0, l'observation de N sur [0;T] se caractérise ainsi par ses temps de sauts  $(\tau_i)_{i\geq 1}$  inférieurs à T et le temps T correspondant à la fin de l'observation :  $\left((\tau_i)_{i\geq 1},T\right)$ .

$$orall t \leq \mathcal{T}, extstyle N(t) = \sum_{i \geq 1} \mathbb{1}_{ au_i \leq t}.$$

### Processus de comptage : compensateur, intensité et estimation

#### Compensateur

Introduction

Soit N un processus ponctuel. On appelle compensateur de N un processus croissant, continu à droite et prévisible  $\Lambda$  tel que  $N-\Lambda$  soit une martingale locale.

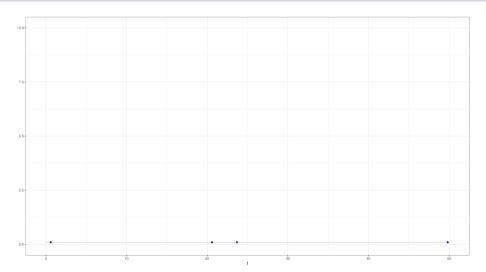
#### Intensité

Soit N un processus ponctuel et  $\Lambda$  son compensateur. Si presque sûrement toute trajectoire de  $\Lambda$  est absolument continue, alors on note  $\lambda(t) = \frac{d\Lambda(t)}{dt}$  l'intensité de N.

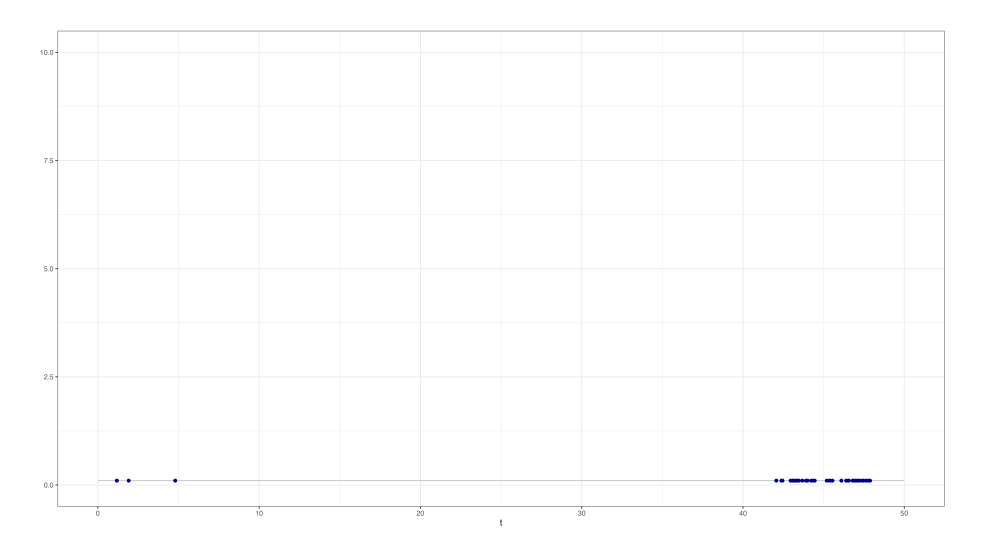
Vraisemblance d'observer dans l'intervalle [0; T] une suite d'événements aux temps  $(\tau_i)$ :

$$\mathcal{L}\left(\left(\left(\tau_{i}\right)_{i\geq1},T\right),N\right)=\prod_{i=1}^{N(T)}\left(\lim_{t\leq\tau_{i}}\lambda(t)\right)\mathrm{e}^{-\Lambda(T)}.$$

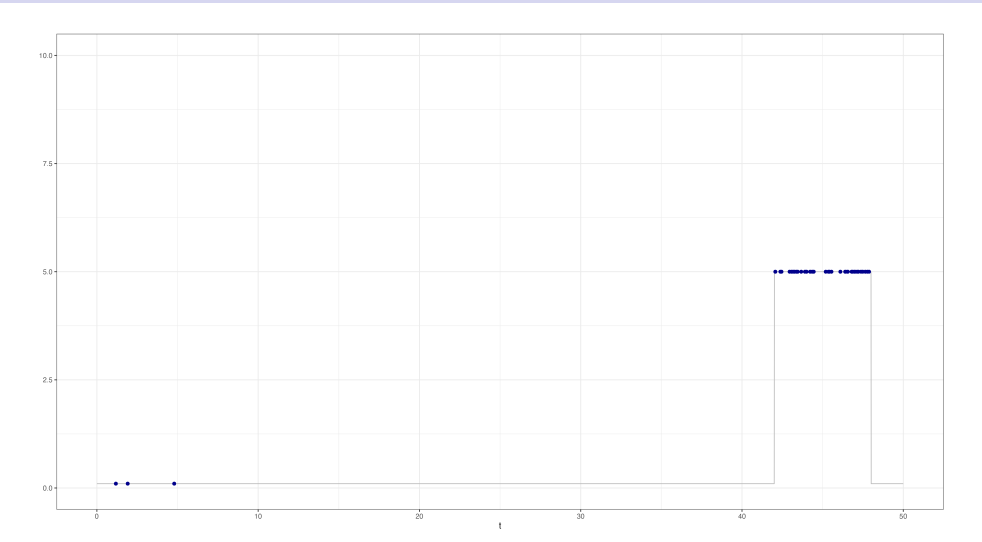
# Processus de comptage : processus de Poisson homogène



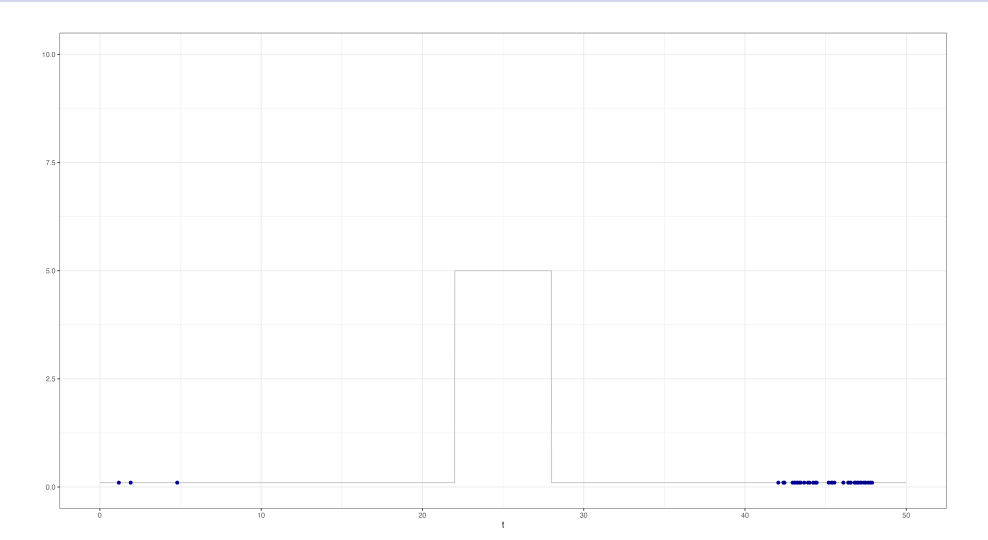
## Processus de comptage : processus de Poisson homogène



### Processus de comptage : processus de Poisson inhomogène



### Processus de comptage : processus de Poisson inhomogène



#### Processus de comptage : processus de Hawkes (1971)

#### Définition

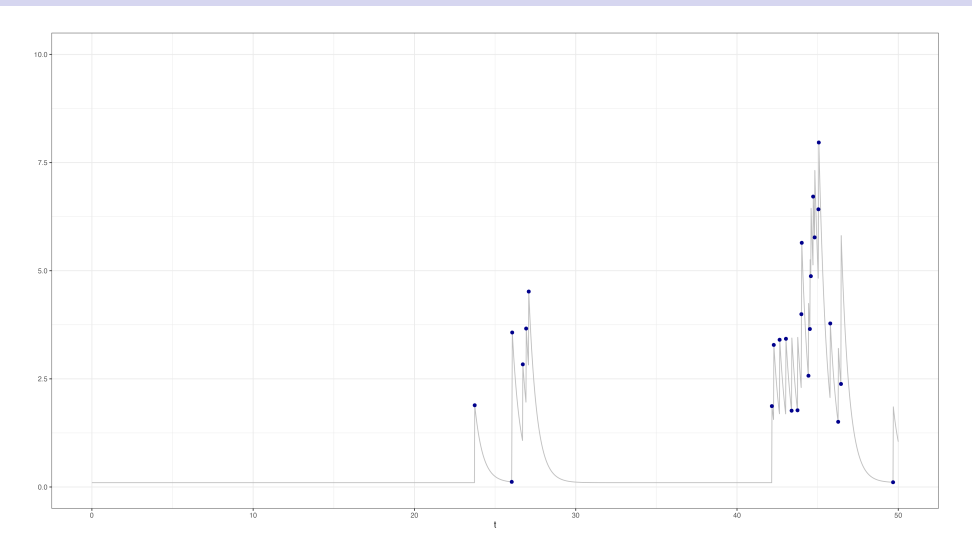
Introduction

$$\lambda^{(\mu,h)}(t)=\mu+\int_0^t h(t-s)dN_s^{(\mu,h)},$$
 avec

- $\bullet$   $\mu > 0$  une constante, assimilable à l'intensité d'un processus de Poisson homogène,
- h une fonction dite noyau, de  $\mathbb{R}^+$  dans  $\mathbb{R}^+$  traduisant le phénomène d'auto excitation,
- vérifiant  $||h||_1 = \int_{\mathbb{R}^+} h(t) dt < 1$  pour être dans un cadre stable cf Bacry, Delattre et al. (2013)

Nombreuses applications: Bacry, Mastromatteo & al. (2015) et Bonnet, Dion-Blanc & al. (2021).

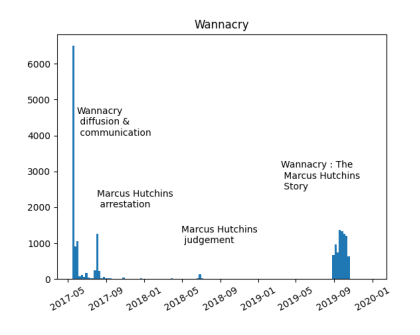
# Processus de comptage : processus de Hawkes (1971)

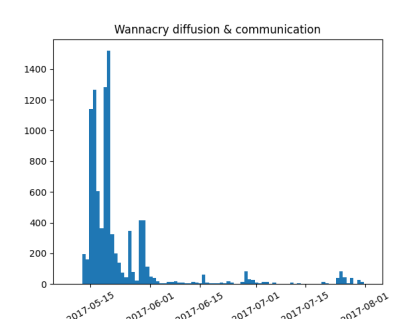


## Processus de comptage : processus de Hawkes (1971)

Exemple de la diffusion médiatique relative au rançongiciel Wannacry :

Dépendance & Censure





Pour étudier la propagation d'impacts d'un logiciel malveillant et les besoins en assistance associés, nous supposons que la durée de rétablissement est constante, égale à  $\delta$ . Nous introduisons plusieurs processus ponctuels :

- le processus de Hawkes correspondant au nombre de victimes impactées, noté  $\mathfrak{I}(t)$ ,
- le processus de comptage du nombre de victimes rétablies, noté  $\mathfrak{R}(t)$ ,
- le processus ponctuel du nombre de victimes nécessitant une assistance, noté  $\mathfrak{A}(t)$  et vérifiant  $\mathfrak{A}(t) = \mathfrak{I}(t) \mathfrak{R}(t)$ ,

$$\left\{egin{array}{lcl} \mathfrak{I}(t) &=& \sum_{ au_i} \mathbb{1}_{\{ au_i \leq t\}} \ \\ \mathfrak{R}(t) &=& \sum_{ au_i} \mathbb{1}_{\{ au_i \leq t - \delta\}} \ \\ \mathfrak{A}(t) &=& \sum_{ au_i} \mathbb{1}_{\{t - \delta < au_i \leq t\}} \end{array}
ight.$$

#### Accumulation & Hawkes: cadre de démonstration

Introduction

• Décomposition du processus d'accumulation  $\mathfrak{A}(t)$  entre son espérance et ses déviations. cf Jaisson and Rosenbaum (2015).

$$\mathfrak{A}(t) = \mathbb{E}[\mathfrak{A}(t)] + \mathfrak{M}(t).$$

• Etude de la norme infinie de  $\mathfrak{M}(t)$  par disjonction de cas relative au compensateur du processus  $\Im(t)$ , noté  $\Lambda(t)$ , cf Guével (2021) et Reynaud-Bouret & Roy (2007),

$$\begin{split} \mathbb{P}\left(\sup_{0\leq t\leq T}\mathfrak{M}(t)>x\right) &= & \mathbb{P}\left(\left\{\sup_{0\leq t\leq T}\mathfrak{M}(t)>x\right\}\cap\left\{\Lambda(T)<\mathfrak{c}_{u}^{T}T\right\}\right) \\ &+ & \mathbb{P}\left(\left\{\sup_{0\leq t\leq T}\mathfrak{M}(t)>x\right\}\cap\left\{\Lambda(T)\geq\mathfrak{c}_{u}^{T}T\right\}\right) \\ &\leq & \mathbb{P}\left(\left\{\sup_{0\leq t\leq T}\mathfrak{M}(t)>x\right\}\mid\left\{\Lambda(T)<\mathfrak{c}_{u}^{T}T\right\}\right)\mathbb{P}\left(\Lambda(T)<\mathfrak{c}_{u}^{T}T\right) \\ &+ & \mathbb{P}\left(\Lambda(T)\geq\mathfrak{c}_{u}^{T}T\right) \\ &\leq & \mathbb{P}\left(\left\{\sup_{0\leq t\leq T}\mathfrak{M}(t)>x\right\}\mid\left\{\Lambda(T)<\mathfrak{c}_{u}^{T}T\right\}\right) \\ &+ & \mathbb{P}\left(\Lambda(T)\geq\mathfrak{c}_{u}^{T}T\right). \end{split}$$

• Majoration de la probabilité de saturation des capacités d'assistance  $\mathbb{P}\left(\sup_{0 \le t \le T} \mathfrak{A}(t) > x\right)$ .

Hypothèse 3.3.1 :  $\exists \Delta < +\infty$  tel que pour tout  $t > \Delta$ , h(t) = 0.

Hypothèse 3.3.2 :  $||h||_{\infty} := \sup_{s \in [0:\Delta]} h(s) < +\infty$ .

#### Théorème 3.3.3

Introduction

Soit  $N^{(\mu,h)}$  un processus de Hawkes linéaire auto-excitant,  $\Lambda_{N^{(\mu,h)}}$  son compensateur et u un réel strictement positif. Si  $||h||_1 < 1$  et si les hypothèses 3.3.1 et 3.3.2 sont vérifiées, alors il existe un  $t_u > 0$ , dépendant de  $(u, \Delta, ||h||_1)$ , tel que pour tout  $T \ge t_u$ ,

$$\mathbb{P}\left(\sup_{0 \leq t \leq T} \mathfrak{A}(t) > x\right) \leq \exp\left(-\mathfrak{c}_u^T T \mathfrak{H}I\left(\frac{x - \mu\delta\left(1 + ||H||_1\right)}{\mathfrak{c}_u^T T \mathfrak{H}}\right)\right) + \left(3 + \frac{\mu e}{u + \log(T)}\right) e^{-u},$$

- avec  $||H||_1 = \frac{||h||_1}{1 ||h||_1}$ ,
- $\mathfrak{H} = 1 + ||H||_1$  de manière générale ou  $\mathfrak{H} = 1 + \int_0^\delta H(u) du$  lorsque H est décroissante,
- $\mathfrak{c}_u^T = \mu + ||H||_1 + f_T^{(\mu,h)}(u)$ , pour une certaine fonction f précisée au théorème D.3.7.

#### Conclusion théorique

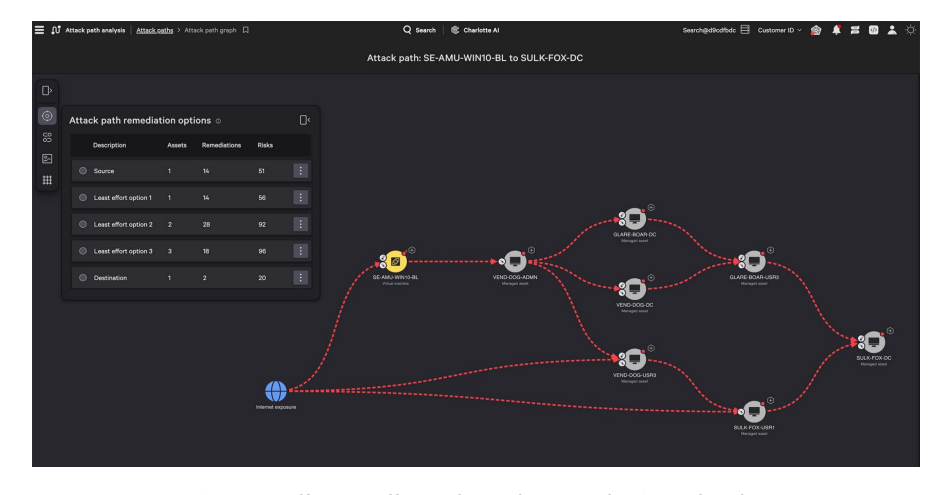
Introduction

Synthèse des contributions aux mathématiques appliquées à l'assurance des risques numériques :

- au premier chapitre, nous avons adapté l'algorithme d'arbre de régression au contexte de la classification de risques à partir de valeurs extrêmes,
- au second chapitre, nous avons ajusté l'estimation de copules dans un contexte de données censurées à droite,
- au troisième chapitre, nous avons proposé une majoration de l'accumulation d'événements issus d'un processus de Hawkes,

Au-delà des enjeux mathématiques, les pouvoirs publics, les organismes d'assurances et les acteurs de la sécurité numérique sont clés pour gérer les risques numériques, cf Hassler (2019).

#### Ouverture sur l'importance de la multidisciplinarité



Capture d'écran d'une des solutions de Crowdstrike

A votre disposition pour répondre à vos questions



